

УДК 539.3

ДИФРАКЦИЯ СДВИГОВОЙ ПЛОСКОЙ ВОЛНЫ В УПРУГОМ ПРОСТРАНСТВЕ С ПОЛУБЕСКОНЕЧНЫМ УПРУГИМ ВКЛЮЧЕНИЕМ

Агаян К.Л., Григорян Э.Х., Джилавян С.А.

Կ. Լ. Արամին, Է. Խ. Գրիգորյան, Ա. Հ. Զիանդին

Սահեր հայր ամիս դիվնուակեցիան կիսասանըմբեր ստամբակեան մելոդիակ պատամբական նախաճուքություն են:

Աշխատանքում հետազոտվում է անվերջությունից կիսաանվերջ առածքական ներդրիքին ընկնող տարիք հարք աղիք դիմումականից խնդիրը Խնդիրը բժիշկում է Վիճեր-Հոփի համակցության հավասարման տօնման։ Ստացվում են ասիմպատուսական բանաձևեր կոնուակտույին լարումների համար ներդրիք եղիք նույնակարգություն և նրանից հետո կնայերում Հետազոր գոտում տրված են տեղափոխության ասիմպատուսական ներկայացումները։ Ստվերի և անդրադարձման աղիքի տիրույներում, կոնտակտի տեղահատում առկա է Լամի մակերևության այլընթաց։

K.L. Agayan, E.Kh. Grigoryan, S.H. Jilavyan

Diffraction of a plane shear wave on the elastic space with the semi-infinite elastic inclusion

В работе исследована задача дифракции плоской волны, падающей из бесконечности на полубесконечное упругое включение. Задача сводится к решению функционального уравнения Винера-Хопфа. Получены асимптотические формулы контактных напряжений в окрестности края включения и в далеких от него точках. В дальней зоне даны асимптотические представления перемещения. Показано наличие поверхности волны Аббе в области тени и отраженной волны, а также на участке контакта.

В работе рассматривается дифракция сдвиговой плоской волны, падающей из бесконечности под некоторым углом на полубесконечное включение. Решение задачи представляется в виде суммы своей четной и нечетной частей. Рассматривая случай длинных волн, эти задачи (четная и нечетная) моделируются соответствующим образом, после чего каждая из них сводится к решению функционального уравнения Винера-Хопфа.

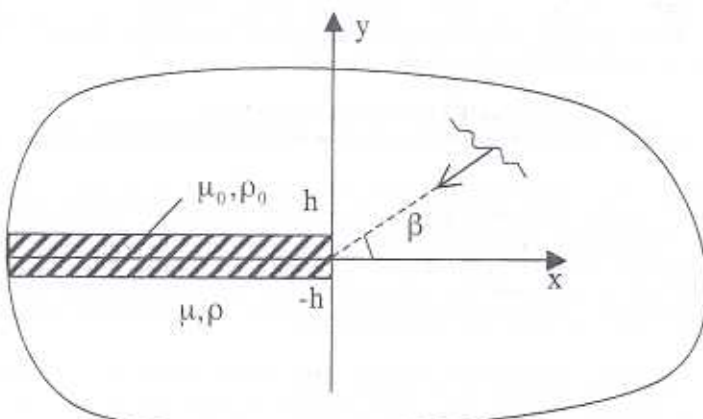
Получены асимптотические формулы для амплитуды перемещения в дальней зоне. В области тени и отраженной волны, а также на участке контакта эти формулы содержат волновую часть, обусловленную локализованной (поверхностной) волной Аява. Получены также асимптотические формулы для амплитуды контактных напряжений в окрестности края включения и в далеких от него точках. Причем отметим, что из решения рассматриваемой задачи предельным переходом получены решения соответствующих предельных задач — трещина или жесткое включение.

В работах [1,2] рассмотрена задача об установившихся сдвиговых колебаниях упругого пространства с полубесконечным упругим включением под действием линейного источника колебаний. Учитывая малость толщины включения, предложена модель поставленной задачи, которая сводит задачу к решению системы двух функциональных уравнений Винера-Хопфа. Однако в полученном таким путем решении отсутствует локализованная (поверхностная) волна Лява — важный компонент волнового поля, следовательно предложенная в [1,2] модель задачи неадекватна поставленной исходной задаче.

1. Рассмотрим упругое пространство, отнесенное к декартовой системе координат $Oxyz$, содержащее упругое полубесконечное включение в виде занимающего область $\Omega_0 (\infty < x \leq 0, |y| \leq h, |z| < \infty)$ полубесконечного слоя с малой толщиной $2h$ (фиг.1). Пусть из бесконечности под углом β падает плоская сдвиговая волна (гармонический множитель $e^{-i\omega t}$ здесь и в дальнейшем опускается, т.е. задача решается в амплитудах, t – параметр времени) с амплитудой

$$u_z^{(\infty)}(x, y) = e^{-ikx \cos \beta - iky \sin \beta} \quad (1.1)$$

где $k = \omega/c$ – волновое число, $c = \sqrt{\mu/\rho}$ – скорость распространения сдвиговой волны μ, ρ и μ_0, ρ_0 – модули сдвига и плотности пространства и упругого включения, соответственно, ω – частота колебаний, $0 < \beta < \frac{\pi}{2}$.



Фиг. 1.

Среда находится в условиях антиплоской деформации. Ставится задача определить дифрагированное волновое поле как на участке контакта, так и во всем пространстве. Для решения поставленной задачи представим $u_z^{(\infty)}(x, y)$ в виде суммы своей четной

$$u_{z1}^{(\infty)}(x, y) = \frac{1}{2} \left(e^{-ikx \cos \beta - iky \sin \beta} + e^{-ikx \cos \beta + iky \sin \beta} \right) \quad (1.2)$$

и нечетной

$$u_{z2}^{(\infty)}(x, y) = \frac{1}{2} \left(e^{-ikx \cos \beta - iky \sin \beta} - e^{-ikx \cos \beta + iky \sin \beta} \right) \quad (1.3)$$

частей. Тогда перемещение также представится в виде

$$u_z(x, y) = w_1(x, y) + w_2(x, y) \quad (1.4)$$

здесь уже $w_1(x, y)$ – четная часть, а $w_2(x, y)$ – нечетная часть амплитуды упругого перемещения пространства. Следовательно, решение поставленной задачи сводится к определению функций $w_1(x, y)$ и $w_2(x, y)$, т.е. к

определению перемещений четно и нечетно (относительно y) поставленных задач.

Рассмотрим четную задачу. Пусть из бесконечности падает сдвиговая плоская волна с амплитудой $u_1^{(0)}(x, y)$. Уравнение движения для точек пространства имеет вид

$$\Delta w_1(x, y) + k^2 w_1(x, y) = 0 \quad (1.5)$$

а для включения —

$$\Delta w_1^{(0)}(x, y) + k_0^2 w_1^{(0)}(x, y) = 0, \quad x, y \in \Omega_0 \quad (1.6)$$

где $\Delta = \frac{\partial^2}{\partial x^2} + \frac{\partial^2}{\partial y^2}$, $w_1^{(0)}(x, y)$ — амплитуда упругого перемещения включения, $k_0 = \omega/c_0$ — волновое число, $c_0 = \sqrt{\mu_0/\rho_0}$ — скорость распространения сдвиговой волны включения.

Считая толщину включения достаточно малой, т.е. $hk_0 \ll 1$, осредним перемещение $w_1^{(0)}(x, y)$ по толщине, отождествляя слой с его срединной плоскостью. Тогда из (1.6) приходим к уравнению

$$\frac{d^2 u_1^{(0)}(x)}{dx^2} + k_0^2 u_1^{(0)}(x) + \frac{1}{h\mu_0} q_1(x) = 0, \quad x < 0 \quad (1.7)$$

$$\text{где } u_1^{(0)}(x) = \frac{1}{2h} \int_{-h}^h w_1^{(0)}(x, y) dy, \quad q_1(x) = \tau_{yz}^{(0)}(x, h) = -\tau_{yz}^{(0)}(x, -h) \quad (1.8)$$

$q_1(x)$ — интенсивность контактных напряжений, действующих на контактных участках между слоем и пространством.

Срединная полуплоскость слоя, которая совпадает с полуплоскостью ($y=0$, $x < 0$, $|z| < \infty$), имеет жесткость $h\mu_0$, а жесткость полуплоскости ($y=0$, $x > 0$, $|z| < \infty$) нулевая. Поэтому они не могут контактировать по линии ($x=0$, $y=0$). Следовательно, имеет место условие

$$\left. \frac{du_1^{(0)}(x)}{dx} \right|_{x=0} = 0 \quad (1.9)$$

указывающее, что следовало изначально пренебречь контактными напряжениями на участке ($x=0$, $|y| \leq h$, $|z| < \infty$), т.е. $\tau_{xz}^{(0)}(0, y) = 0$.

Введем функции

$$f^+(x) = \theta(x)f(x), \quad f^-(x) = \theta(-x)f(x) \quad (1.10)$$

где $\theta(x)$ — известная функция Хевисайда. Тогда уравнение (1.7) при условии (1.9) запишется в виде

$$\frac{d^2 u_1^{(0)-}}{dx^2} + k_0^2 u_1^{(0)-}(x) = -u_1^{(0)}(0)\delta'(x) - \frac{1}{h\mu_0} q_1^-(x) \quad (-\infty < x < \infty) \quad (1.11)$$

где $u_1^{(0)}(0)$ — неизвестная постоянная, подлежащая определению. После преобразования Фурье из (1.11) получим

$$\bar{u}_1^{(0)}(\sigma) = \frac{i\sigma u_1^{(0)}(0)}{k_0^2 - \sigma^2} - \frac{\bar{q}_1^-(\sigma)}{h\mu_0(k_0^2 - \sigma^2)} \quad (1.12)$$

$$\bar{u}_1^{(0)}(\sigma) = \int_{-\infty}^{\sigma} u_1^{(0)}(x) e^{ix} dx, \quad \bar{q}_1^-(\sigma) = \int_{-\infty}^{\sigma} q_1^-(x) e^{ix} dx$$

причем действительная ось (линия интегрирования) обходит точку $-k_0$ сверху, а k_0 — снизу.

Поскольку мы уже считаем, что слой совпадает со своей срединной плоскостью (принимая вышеприведенную модель упругого включения), то имеют место следующие условия контакта:

$$\left. \frac{\partial w_1}{\partial y} \right|_{y=0} - \left. \frac{\partial w_1}{\partial y} \right|_{y=-0} = \frac{2}{\mu} \bar{q}_1^-(x), \quad (-\infty < x < \infty) \quad (1.13)$$

$$w_1(x, 0) = u_1^{(0)}(x) \quad (x < 0) \quad (1.14)$$

Приступив к решению уравнения (1.5), введем функцию

$$W_1(x, y) = w_1(x, y) - u_1^{(\infty)}(x, y) \quad (1.15)$$

Подставляя (1.15) в (1.5), после преобразования Фурье получим

$$\frac{d^2 \bar{W}_1(\sigma, y)}{dy^2} - \gamma^2 \bar{W}_1(\sigma, y) = 0; \quad \gamma^2 = \sigma^2 - k^2 \quad (1.16)$$

Выберем то решение уравнение (1.16), которое представляет уходящую волну

$$\bar{W}_1(\sigma, y) = C_1 e^{\gamma|y|} \quad (1.17)$$

Предполагается, что $\gamma(\sigma) = \sqrt{\sigma^2 - k^2} \rightarrow |\sigma|$ при $|\sigma| \rightarrow \infty$, а для $|\sigma| < k$, $\sqrt{\sigma^2 - k^2} = -i\sqrt{k^2 - \sigma^2}$, т.е. решение уравнения в виде формулы (1.17) представляет уходящую волну. Для выбора такой ветви двузначной функции $\sqrt{\alpha^2 - k^2}$ следует провести в комплексной плоскости $\alpha = \sigma + i\tau$ разрезы до бесконечности от точек $\sigma = k$ в верхней полуплоскости, и $\sigma = -k$ — в нижней полуплоскости, т.е. действительная ось обходит точки ветвления $-k$ сверху, а k — снизу [4].

Применив преобразование Фурье к контактным условиям, из (1.13), имея в виду (1.17), получим

$$C_1(\sigma) = -\bar{q}_1^-(\sigma) / \mu \sqrt{\sigma^2 - k^2} \quad (1.18)$$

а из (1.14) получим следующее функциональное уравнение Винера-Хопфа относительно \bar{w}_1^* и \bar{q}_1^- :

$$\bar{w}_1^*(\sigma, 0) + \bar{K}(\sigma) \bar{q}_1^-(\sigma) = 2\pi \delta(\sigma - k \cos \beta) + \frac{i\sigma u_1^{(0)}(0)}{\sigma^2 - k_0^2} \quad (1.19)$$

где

$$\bar{K}(\sigma) = \frac{\bar{K}_1(\sigma)}{\mu \sqrt{\sigma^2 - k^2}}; \quad \bar{K}_1(\sigma) = \frac{L(\sigma)}{h\mu_0(\sigma^2 - k_0^2)}$$

$$L(\sigma) = \mu \sqrt{\sigma^2 - k^2} + h\mu_0(\sigma^2 - k_0^2) \quad (1.20)$$

Функция Лява $L(\sigma)$ при $k < k_0$ имеет единственный действительный корень

$$\sigma_L = \frac{\sqrt{2}}{2} \sqrt{2k_0^2 + \lambda_1^2 - \lambda_1 \sqrt{\lambda_1^2 + 4(k_0^2 - k^2)}}; \quad \lambda_1 = \frac{\mu}{\mu_0 h}; \quad k < \sigma_L < k_0 \quad (1.21)$$

Очевидно, что $-\sigma_L$ также является нулем функции $L(\sigma)$. При этом действительная ось обходит точку $\sigma = -\sigma_L$ сверху, а $\sigma = \sigma_L$ — снизу, тем самым обеспечивая условие уходящей волны.

Отметим, что в дальнейшем, в основном, будем считать, что $k < k_0$.

Для решения функционального уравнения (1.19) факторизуем функцию $\bar{K}(\sigma)$, представив ее в виде [4]

$$\bar{K}(\sigma) = \bar{K}^+(\sigma)\bar{K}^-(\sigma) \quad (1.22)$$

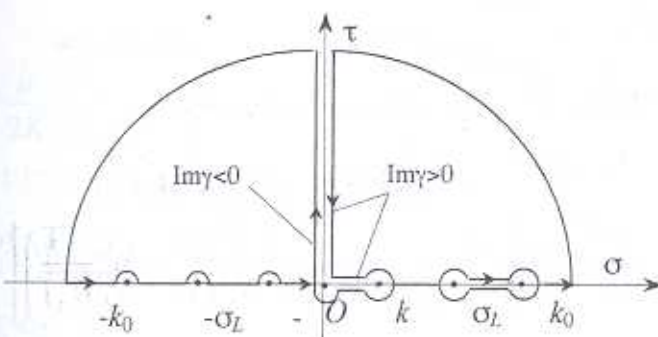
где $\bar{K}^+(\alpha)$ регулярна и не имеет нулей при $\operatorname{Im}\alpha > 0$, а $\bar{K}^-(\alpha)$ регулярна и не имеет нулей при $\operatorname{Im}(\alpha) < 0$, $\alpha = \sigma + i\tau$. Здесь

$$\begin{aligned} \bar{K}^\pm(\sigma) &= \bar{K}_1^\pm(\sigma)/\sqrt{\mu(\sigma \pm k)}; & \bar{K}_1^\pm(\sigma) &= \exp(F_1^\pm(\sigma)) \\ \bar{F}_1^+(\sigma) &= \int_0^\infty F_1(x)e^{ix(\sigma+i0)}dx; & \bar{F}_1^-(\sigma) &= \int_{-\infty}^0 F_1(x)e^{ix(\sigma-i0)}dx \end{aligned} \quad (1.23)$$

$$F_1(x) = \frac{1}{2\pi} \int_{-\infty}^{\infty} \ln \bar{K}_1(\sigma) e^{-i\sigma x} d\sigma = \frac{1}{2\pi} \int_{-\infty}^{\infty} \ln \left(1 + \frac{\lambda_1 \sqrt{\sigma^2 - k^2}}{\sigma^2 - k_0^2} \right) e^{-i\sigma x} d\sigma$$

Из выражения $\bar{K}_1(\sigma)$ (1.20) видно, что $\ln \bar{K}_1(\sigma) = O(|\lambda_1|\sigma^{-1})$ при $|\sigma| \rightarrow \infty$, т.е. $F_1(x)$ имеет порядок $\ln|x|$ при $|x| \rightarrow 0$, тогда из (1.23) следует, что $\bar{F}_1^\pm(\sigma) = O\left(\frac{\ln(\sigma \pm i0)}{\sigma \pm i0}\right)$ при $|\sigma| \rightarrow \infty$. Следовательно, функции $\bar{K}^\pm(\alpha)$ стремятся к единице при $|\alpha| \rightarrow \infty$ в своих областях регулярности.

Вычислим $\bar{K}_1^-(\sigma)$ методом контурного интегрирования, рассматривая при этом комплексную плоскость с разрезами, показанными на фиг. 2. Замыкая контур интегрирования (1.23) в верхней полуплоскости при



Фиг. 2

помощи леммы Жордана; получим

$$F_1(x) = \frac{1}{\pi} \int_0^\infty \operatorname{arctg} \frac{\lambda_1 \sqrt{k^2 + \tau^2}}{k_0^2 + \tau^2} e^{-\tau x} d\tau + \frac{i}{\pi} \int_0^k \operatorname{arctg} \frac{\lambda_1 \sqrt{k^2 - \sigma^2}}{k_0^2 - \sigma^2} e^{-i\sigma x} d\sigma + i \int_{\sigma_k}^{k_0} e^{-i\sigma x} dx \quad (x < 0) \quad (1.24)$$

Тогда из (1.23) будем иметь

$$\begin{aligned} \bar{F}_1^-(\sigma) = \ln \frac{\sigma - i0 - \sigma_L}{\sigma - i0 - k_0} + \frac{1}{\pi} \int_0^\infty \operatorname{arctg} \frac{\lambda_1 \sqrt{k^2 + \tau^2}}{k_0^2 + \tau^2} \frac{d\tau}{\tau + i(\sigma - i0)} + \\ + \frac{1}{\pi} \int_0^k \operatorname{arctg} \frac{\lambda_1 \sqrt{k^2 - s^2}}{k_0^2 - s^2} \frac{ds}{\sigma - i0 - s} \end{aligned}$$

Следовательно,

$$\begin{aligned} \bar{K}_1^-(\sigma) = \frac{\sigma - i0 - \sigma_L}{\sigma - i0 - k_0} \exp \left[\frac{1}{\pi} \int_0^\infty \operatorname{arctg} \frac{\lambda_1 \sqrt{k^2 + \tau^2}}{k_0^2 + \tau^2} \frac{d\tau}{\tau + i(\sigma - i0)} + \right. \\ \left. + \frac{1}{\pi} \int_0^k \operatorname{arctg} \frac{\lambda_1 \sqrt{k^2 - s^2}}{k_0^2 - s^2} \frac{ds}{\sigma - i0 - s} \right] \\ \bar{K}_1^+(\sigma) = \bar{K}_1^-(\sigma), \end{aligned} \quad (1.25)$$

Надо иметь в виду, что $\frac{1}{s - (\sigma - i0)} = \frac{1}{s - \sigma} - i\pi\delta(s - \sigma)$.

Приступим теперь к решению функционального уравнения (1.19). После обычной процедуры для решения данного уравнения методом Винера-Хопфа [4], (1.19) сводится к уравнению

$$\begin{aligned} \bar{M}^-(\sigma) = \frac{\sqrt{\mu} \sqrt{\sigma + k}}{\bar{K}_1^-(\sigma)} \bar{w}_1^-(\sigma, 0) - \frac{i\sqrt{k + k \cos\beta}}{\bar{K}_1^+(k \cos\beta)} \frac{\sqrt{\mu}}{\sigma - k \cos\beta + i0} - \\ - \frac{i u_1^{(0)}(0) \sqrt{\mu}}{2} \left[\frac{\sqrt{\sigma + k}}{\bar{K}_1^+(\sigma)(\sigma + k_0)} + \frac{1}{\sigma - k_0} \left(\frac{\sqrt{\sigma + k}}{\bar{K}_1^+(\sigma)} - \frac{\sqrt{k + k_0}}{\bar{K}_1^+(k_0)} \right) \right] = \\ = \frac{\bar{K}_1^-(\sigma)}{\sqrt{\mu} \sqrt{\sigma - k}} \bar{q}_1^-(\sigma) - \frac{i\sqrt{k + k \cos\beta}}{\bar{K}_1^+(k \cos\beta)} \frac{\sqrt{\mu}}{\sigma - k \cos\beta - i0} + \\ + \frac{i u_1^{(0)}(0) \sqrt{\mu}}{2} \frac{\sqrt{k_0 + k}}{\bar{K}_1^+(k_0)(\sigma - k_0)} = \bar{M}^-(\sigma) \quad -\infty < \sigma < \infty \end{aligned} \quad (1.26)$$

Отметим, что при получении (1.26) имелось в виду, что

$$\begin{aligned} 2\pi i \delta(\sigma - k \cos\beta) = \frac{1}{\sigma - k \cos\beta - i0} - \frac{1}{\sigma - k \cos\beta + i0} \\ \frac{\sqrt{\sigma + k}}{\bar{K}_1^-(\sigma)} \frac{i\sigma}{\sigma^2 - k_0^2} = \frac{i}{2} \left[\frac{\sqrt{\sigma + k}}{\bar{K}_1^-(\sigma)(\sigma + k_0)} + \frac{1}{(\sigma - k_0)} \left(\frac{\sqrt{\sigma + k}}{\bar{K}_1^-(\sigma)} - \frac{\sqrt{k_0 + k}}{\bar{K}_1^-(k_0)} \right) \right] + \end{aligned}$$

$$+ \frac{\sqrt{k_0 + k}}{2\bar{K}_1^+(k_0)} \frac{i}{\sigma - k_0}$$

где первое слагаемое регулярно в верхней полуплоскости, а вторая — в нижней.

Дальнейший ход решения уравнения (1.26) такой же, как в [5]. Применив к (1.26) обратное преобразование Фурье, получим

$$M^+(x) = M^-(x), \quad (-\infty < x < \infty) \quad (1.27)$$

которое может иметь место только, если

$$M^+(x) = M^-(x) = \sum_{k=0}^n m_k \delta^{(k)}(x) \quad (1.28)$$

где $\delta^{(k)}(x)$ — k -ая производная функции Дирака $\delta(x)$ [6,7]. Применив к (1.28) обобщенное преобразование Фурье, получим

$$M^+(\sigma) = M^-(\sigma) = \sum_{k=0}^n (-i)^k m_k \sigma^k \quad (1.29)$$

Так как [8], $q_1^-(x) = O\left(x^{-\frac{1}{2}}\right)$ при $x \rightarrow -0$, а $w_1^+(0,0)$ — конечная

величина, то из свойств интегралов Фурье следует, что

$$\bar{q}_1^-(\sigma) = O\left((\sigma - i0)^{-\frac{1}{2}}\right), \quad \bar{w}_1^+(\sigma, 0) = O\left((\sigma + i0)^{-1}\right) \quad \text{при } |\sigma| \rightarrow \infty.$$

Следовательно, с учетом того, что $\bar{K}^\pm(\sigma) \rightarrow 1$ при $|\sigma| \rightarrow \infty$, из (1.26) и (1.29) следует, что $m_k = 0$ ($k = 0, 1, \dots, n$), т.е.

$$\bar{M}^+(\sigma) = \bar{M}^-(\sigma) = 0 \quad (1.30)$$

Таким образом получим решение в виде

$$\frac{1}{\mu} \bar{q}_1^-(\sigma) = \frac{\sqrt{\sigma - k}}{\bar{K}_1^-(\sigma)} \left(\frac{a_1}{\sigma - k_0} - \frac{a_2}{\sigma - k \cos \beta - i0} \right) \quad (1.31)$$

$$\begin{aligned} \bar{w}_1^+(\sigma, 0) &= \frac{\bar{K}_1^+(\sigma)}{\sqrt{\sigma + k}} \frac{a_2}{\sigma - k \cos \beta + i0} + \\ &+ \frac{iu_1^{(0)}(0)}{2} \left[\frac{1}{\sigma + k_0} + \frac{1}{\sigma - k_0} \left(1 - \frac{\sqrt{k_0 + k}}{\bar{K}_1^+(k_0)} \frac{\bar{K}_1^+(\sigma)}{\sqrt{\sigma + k}} \right) \right] \end{aligned} \quad (1.32)$$

$$\text{где } a_1 = \frac{iu_1^{(0)}(0)}{2\bar{K}_1^+(k_0)} \sqrt{k + k_0}; \quad a_2 = \frac{i\sqrt{2k} \cos \beta / 2}{\bar{K}_1^+(k \cos \beta)}.$$

Из (1.12) и (1.31) определяется $u_1^{(0)}(0)$

$$u_1^{(0)}(0) = \frac{4i\lambda_1 \cos \beta / 2 \sqrt{2k(k + k_0)} k_0 \bar{K}_1^+(k_0)}{[(2k_0 \bar{K}_1^+(k_0))^2 + i\lambda_1(k_0 + k)] (k_0 + k \cos \beta) \bar{K}_1^+(k \cos \beta)} \quad (1.33)$$

Имея $\bar{q}_1^-(\sigma)$ из (1.31), с помощью (1.15), (1.17), (1.18) окончательно получим решение поставленной четной задачи.

2. Рассмотрим теперь нечетную задачу. Пусть из бесконечности падает сдвиговая плоская волна $u_{z2}^{(x)}(x, y)$ (1.3)

Уравнение движения имеет вид

$$\Delta w_2(x, y) + k^2 w_2(x, y) = 0 \quad (2.1)$$

Введем функцию перемещения

$$W_2(x, y) = w_2(x, y) - u_{z2}^{(x)}(x, y) \quad (2.2)$$

которое удовлетворяет уравнению движения и представляет уходящую волну.

После преобразования Фурье, аналогично четной задаче, получим

$$\bar{W}_2(\sigma, y) = \bar{w}_2(\sigma, y) + 2\pi i \sin(ky \sin \beta) \delta(\sigma - k \cos \beta) = C_2(\sigma) \operatorname{sgn} y e^{-\gamma|y|} \quad (2.3)$$

Относительно включения, в силу тонкости, полагая, что напряжение $\tau_{yz}^{(0)}(x, y)$ распределено равномерно по толщине, с учетом нечетности задачи $w_2^{(0)}(x, 0) = 0$ получим:

$$w_2^{(0)}(x, y) = \frac{1}{\mu_0} y q_2^-(x), \quad q_2^-(x) = \tau_{yz}^{(0)}(x, y), \quad (x < 0) \quad (2.4)$$

где $q_2^-(x)$ — интенсивность искомых контактных напряжений.

Условие контакта имеет вид

$$w_2(x, \pm 0) = w_2^{(0)}(x, \pm h), \quad (x < 0) \quad (2.5)$$

После преобразования Фурье из (2.4), (2.5) получим

$$C_2 = \frac{h}{\mu_0} \bar{q}_2^-(\sigma) \quad (2.6)$$

а из (2.3)

$$-\sqrt{\sigma^2 - k^2} C_2 = \frac{1}{\mu} \bar{q}_2^-(\sigma) + \frac{1}{\mu} \bar{q}_2^+(\sigma) + 2\pi i k \sin \beta \delta(\sigma - k \cos \beta) \quad (2.7)$$

причем, здесь имелось в виду, что

$$\left. \frac{\partial \bar{W}_2}{\partial y} \right|_{y=0} = \frac{1}{\mu} (\bar{q}_2^-(\sigma) + \bar{q}_2^+(\sigma)) \quad (2.8)$$

Из (2.6) и (2.7) приходим к следующему функциональному уравнению Винера-Хопфа:

$$\bar{q}_2^-(\sigma) + \bar{R}(\sigma) \bar{w}_2^-(\sigma, 0) = -2\pi i k \mu \sin \beta \delta(\sigma - k \cos \beta) \quad (-\infty < \sigma < \infty) \quad (2.9)$$

$$\bar{R}(\sigma) = \mu \sqrt{\sigma^2 - k^2} \bar{K}_2(\sigma), \quad \bar{K}_2(\sigma) = 1 + \lambda_2 (\sigma^2 - k^2)^{-\frac{1}{2}}, \quad \lambda_2 = \frac{\mu_0}{h \mu} \quad (2.10)$$

Таким образом, решение нечетной задачи свелось к функциональному уравнению (2.9) относительно $\bar{q}_2^+(\sigma)$ и $\bar{w}_2^-(\sigma, 0)$.

Так как напряжение $\tau_{yz}^0(x)$ прямо пропорционально перемещению и конечно, следовательно, $q_2^-(0)$ также конечна, и $\bar{q}_2^-(\sigma) = O(\sigma - i0)^{-1}$ при $|\sigma| \rightarrow \infty$.

Поступая, как при решении четной задачи, получим решения функционального уравнения (2.9) в виде

$$\frac{1}{\mu} \bar{q}_2^+(\sigma) = \frac{\sqrt{2k} \sin \beta / 2}{\bar{K}_2^+(k \cos \beta)} \frac{\sqrt{\sigma + k} \bar{K}_2^+(\sigma)}{\sigma - k \cos \beta + i0} \quad (2.11)$$

$$\bar{w}_2^-(\sigma, 0) = \frac{h}{\mu_0} \bar{q}_2^-(\sigma) = -\frac{\sqrt{2k} \sin \beta / 2}{\bar{K}_2^+(k \cos \beta)} \frac{1}{\sqrt{\sigma - k} \bar{K}_2^-(\sigma)} \frac{1}{\sigma - k \cos \beta - i0} \quad (2.12)$$

$$\begin{aligned} \bar{K}_2^-(\sigma) &= \exp \left[\frac{1}{\pi} \int_0^\infty \operatorname{arctg} \frac{\lambda_2}{\sqrt{k^2 + \tau^2}} \frac{d\tau}{\tau - i(\sigma - i0)} + \frac{1}{\pi} \int_0^k \operatorname{arctg} \frac{\lambda_2}{\sqrt{k^2 - s^2}} \frac{ds}{\sigma - i0 - s} \right] \\ \bar{K}_2^+(\sigma) &= \bar{K}_2^-(-\sigma) \end{aligned} \quad (2.13)$$

3. Решение поставленной исходной задачи, как уже отметили, представляется в виде суммы решений рассмотренных выше четной и нечетной задач

$$u_z(x, y) = u_z^{(x)}(x, y) + \frac{1}{2\pi} \int_{-\infty}^{\infty} (C_1(\sigma) + \operatorname{sgn} y C_2(\sigma)) e^{-|y|\sqrt{\sigma^2 - k^2}} e^{-i\alpha\sigma} d\sigma \quad (3.1)$$

$$q^-(x) = \frac{1}{2\pi} \int_{-\infty}^{\infty} (\bar{q}_1^-(\sigma) + \bar{q}_2^-(\sigma)) e^{-i\alpha\sigma} d\sigma \quad (3.2)$$

где $u_z^{(x)}(x, y)$ представляется формулой (1.1), а $C_1(\sigma), C_2(\sigma), \bar{q}_1^-(\sigma), \bar{q}_2^-(\sigma)$ -формулами (1.18), (2.6), (1.31), (2.11).

Из (3.1), проводя в комплексной плоскости разрезы по линиям $-k - i\tau, k + i\tau$ ($0 < \tau < \infty$), обходя точки $\sigma = k \cos \beta$ и $\sigma = \sigma_L$ снизу, а $\sigma = -\sigma_L$ сверху, и замыкая контур интегрирования в верхней полуплоскости, для амплитуды перемещений в контактной зоне ($x < 0, y = \pm 0$) получим

$$\begin{aligned} u_z(x, \pm 0) &= (1 + A_{01} \pm A_{02}) e^{-ikx \cos \beta} + A_L e^{-i\sigma_L x} + \\ &+ \frac{e^{-i\left(kx + \frac{\pi}{4}\right)}}{\pi} \int_0^{\infty} \sqrt{\tau} (\lambda_1 f_1(\tau) \mp f_2(\tau)) e^{\alpha\tau} d\tau \quad (x < 0) \end{aligned} \quad (3.3)$$

$$\text{где } A_{01} = \frac{k^2 \cos^2 \beta - k_0^2}{k_0^2 - k^2 \cos^2 \beta + ik\lambda_1 \sin \beta}; \quad A_{02} = \frac{ik \sin \beta}{ik \sin \beta - \lambda_2}$$

$$A_L = \frac{i(\sigma_L + k_0) \sqrt{\sigma_L - k} \bar{K}_1^+(\sigma_L)}{\sigma_L (\lambda_1 + 2\sqrt{\sigma_L^2 - k^2})} \left(a_2 \frac{\sigma_L - k_0}{\sigma_L - k \cos \beta} - a_1 \right) \quad (3.4)$$

$$f_1(\tau) = \left(-a_1 + a_2 \frac{k - k_0 + i\tau}{k - k \cos \beta + i\tau} \right) \frac{(k + k_0 + i\tau) \bar{K}_1^+(k + i\tau)}{\lambda_1^2 (2ik\tau - \tau^2) - (k_0^2 - k^2 + \tau^2 - 2ik\tau)^2}$$

$$f_2(\tau) = \frac{\sqrt{2k} (2k + i\tau) \sin \beta / 2}{(k - k \cos \beta + i\tau) (\lambda_2^2 + \tau^2 - 2ik\tau)} \frac{\bar{K}_2^+(k + i\tau)}{\bar{K}_2^+(k \cos \beta)},$$

а из (3.2) для контактного напряжения —

$$\frac{1}{\mu} q(x) = A_0^{(q)} e^{-ikx \cos \beta} + A_L^{(q)} e^{-i\pi_L x} +$$
(3.5)

$$+ \frac{e^{-i(kx + \frac{\pi}{4})}}{\pi} \int_0^\infty \sqrt{\tau} ((k_0^2 + \tau^2 - k^2 - 2ik\tau) f_1(\tau) - \lambda_2 f_2(\tau)) e^{\tau x} d\tau \quad (x < 0)$$
(3.5)

$$A_0^{(q)} = \frac{ik(k^2 \cos^2 \beta - k_0^2) \sin \beta}{k_0^2 - k^2 \cos^2 \beta + i\lambda_2 k \sin \beta} + \frac{\lambda_2 k \sin \beta}{k \sin \beta + i\lambda_2} \quad A_L^{(q)} = -\sqrt{\sigma_L^2 - k^2} A_L \quad (3.6)$$

Из (3.3) следует, что волновое поле в контактной зоне складывается из следующих компонентов: падающая волна, отраженная волна, поверхностная (локализованная) волна Лява и сдвиговая объемная волна. Отметим, что если $k_0 < k$, то в соответствующих выражениях волна Лява отсутствует, а в (1.25) множитель при экспоненте $\frac{\sigma - i0 - \sigma_L}{\sigma - i0 - k_0}$ следует заменить единицей.

Следует особо отметить, что в выражениях (3.3), (3.5) наличие компонент поверхностной волны Лява и сдвиговой объемной волны обусловлено наличием ребра (кромки) упругого включения, так что в случае бесконечного включения эти члены отсутствуют при данной постановке задачи.

Приведем асимптотическое представление контактного напряжения в близкой к концу включения и далекой от него зонах

$$\frac{1}{\mu} q^-(x) = \frac{a_1 - a_2}{\sqrt{\pi}} \frac{e^{\frac{i\pi}{4}}}{|x|^{\frac{1}{2}}} + O(1) \quad x \rightarrow -0$$

$$\frac{1}{\mu} q^+(x) = A_0^{(q)} e^{-ikx \cos \beta} + A_L^{(q)} e^{-i\pi_L x} + e^{-i(kx - \frac{\pi}{4})} \left(\frac{B_q^{(0)}}{2\sqrt{\pi}|x|^{\frac{3}{2}}} + O(|x|^{\frac{5}{2}}) \right) \quad x \rightarrow +\infty \quad (3.7)$$

$$\text{где } B_q^{(0)} = \left(\frac{\sqrt{2k} \bar{K}_2^+(k)}{\lambda_2 \sin \frac{\beta}{2} \bar{K}_2^+(k \cos \beta)} - \frac{\bar{K}_1^+(k)}{k_0 - k} \left(a_1 + a_2 \frac{k_0 - k}{k - k \cos \beta} \right) \right)$$

а перемещение при $x \rightarrow -\infty$ имеет следующую асимптотику:

$$u_z(x, \pm 0) = (1 + A_{01} \pm A_{02}) e^{-ikx \cos \beta} + A_L e^{-i\pi_L x} + e^{-i(kx + \frac{\pi}{4})} \left(\frac{B_u^{(0)}}{2\sqrt{\pi}} \frac{1}{|x|^{\frac{3}{2}}} + O(|x|^{\frac{5}{2}}) \right) \quad (3.8)$$

$$\text{где } B_u^{(0)} = \left(a_1 + a_2 \frac{k_0 - k}{k - k \cos \beta} \right) \frac{\bar{K}_1^+(k)(k + k_0)\lambda_1}{(k_0^2 - k^2)^2} \pm \frac{\sqrt{2k} \bar{K}_2^+(k)}{\lambda_2 \sin \frac{\beta}{2} \bar{K}_2^+(k \cos \beta)}$$

Из решений рассмотренной задачи можно получить решения задач предельных к рассмотренной – пространство с полубесконечной трещиной или с жестким включением. Рассмотрим эти частные случаи:

а) при $\mu_0 \rightarrow 0$, $p_0 \rightarrow 0$ (трещина) $\lambda_1 \rightarrow \infty, \lambda_2 \rightarrow 0$. Тогда из (1.25) $\bar{K}_1^z(\sigma) \rightarrow \infty$, из (1.31), (2.12) следует, что $\bar{q}_1^-(\sigma) = \bar{q}_2^-(\sigma) = 0$, т.е. напряжения на берегах трещины отсутствуют, а из (1.18) $C_1 = 0$. С другой стороны, из (2.13) следует, что при $\lambda_2 \rightarrow 0$ $\bar{K}_2^z(\sigma) \rightarrow 1$. Исходя из этих соображений, из (3.1) с помощью (2.6), (2.12) получим, что при $\mu_0 \rightarrow 0$, $p_0 \rightarrow 0$

$$u_z(x, y) = u_z^{(x)}(x, y) - \frac{\sqrt{2k} \sin \beta / 2}{2\pi} \operatorname{sgn} y \int_{-\infty}^{\infty} \frac{e^{-|y|\sqrt{\sigma^2 - k^2}} e^{-ix\sigma} d\sigma}{\sqrt{\sigma - k} (\sigma - k \cos \beta - i0)} \quad (3.9)$$

$$\frac{1}{\mu} q(x) = \sqrt{2k} \sin \beta \frac{1}{2} \frac{1}{2\pi} \int_{-\infty}^{\infty} \frac{\sqrt{\sigma + k}}{\sigma - k \cos \beta + i0} e^{-i(\sigma + i0)x} d\sigma, \quad x > 0$$

которое совпадает с решением соответствующей задачи, приведенной в [4].

б) при $\mu_0 \rightarrow \infty$ (жесткое включение) $\lambda_1 \rightarrow 0, \lambda_2 \rightarrow \infty$. Тогда аналогичными соображениями, как выше, из (3.1) получим, что при жестком полубесконечном включении волновое поле определяется формулой

$$u_z(x, y) = u_z^{(x)}(x, y) + \frac{i}{2\pi} \int_{-\infty}^{\infty} \frac{\sqrt{2k} \cos \beta / 2}{\sqrt{\sigma + k} (\sigma - k \cos \beta - i0)} e^{-|y|\sqrt{\sigma^2 - k^2}} e^{-ix\sigma} d\sigma \quad (3.10)$$

а напряжения на линии контакта и на ее продолжении

$$q(x) = -ik\mu \sin \beta e^{-ikx \cos \beta} + \mu \frac{\sqrt{2k} \cos \beta / 2}{2\pi i} \int_{-\infty}^{\infty} \frac{\sqrt{\sigma - k}}{\sigma - k \cos \beta - i0} e^{-ix\sigma} d\sigma \quad x \in (-\infty, \infty) \quad (3.11)$$

Эти решения также совпадают с решениями, приведенными в [4].

Здесь имелось в виду, что при $\mu_0 \rightarrow \infty$ $\bar{K}_1^z(\sigma) \rightarrow 1$ и

$$\lim_{\mu_0 \rightarrow \infty} \frac{\bar{K}_2^z(k \cos \beta)}{\bar{K}_2^z(\sigma)} = \sqrt{\frac{k - \sigma}{k - k \cos \beta}}.$$

4. Поле перемещений в пространстве, пользуясь подходом, изложенным в [9], представляется в виде (принимая $x = r \cos \theta, y = r \sin \theta$)

$$u_z(r, \theta) = e^{-ikr \cos(\theta - \beta)} + \frac{1}{2\pi} \int_{-\infty}^{\infty} \left(\frac{D_1(\sigma) + D_2(\sigma)}{\sqrt{\lambda^2 - k^2}} - \frac{A_1}{\lambda - \lambda_1} \right) e^{-i\lambda r} d\lambda, \quad (4.1)$$

когда $0 < \theta < \frac{\pi}{2}$.

$$\text{где } \lambda = \sigma \cos \theta - i \sin \theta \sqrt{\sigma^2 - k^2}, \sigma(\lambda) = \lambda \cos \theta + i \sin \theta \sqrt{\lambda^2 - k^2} \quad (4.2)$$

$$D_1(\sigma) = -\frac{f(\sigma)\sqrt{\sigma-k}}{(\sigma - k \cos \beta - i0)(\sigma - k_0)\bar{K}_1^-(\sigma)}$$

$$D_2(\sigma) = -\frac{\sqrt{2k} \sin \beta / 2}{\bar{K}_2^+(k \cos \beta)} \frac{\sqrt{\sigma+k}}{(\sigma - k \cos \beta - i0)\bar{K}_2^-(\sigma)} \quad (4.3)$$

$$f(\sigma) = \sigma(a_1 - a_2) + a_2 k_0 - a_1 k \cos \beta$$

$$\lambda_L = \lambda(\sigma_L) = \sigma_L \cos \theta - i \sin \theta \sqrt{\sigma_L^2 - k^2} = \sigma_L \cos \theta - \frac{i \sin \theta}{\lambda_L} (k_0^2 - \sigma_L^2) \quad (4.4)$$

A_1 — вычет функции $D_1(\sigma)/\sqrt{\lambda^2 - k^2}$ относительно особой точки $\lambda = \lambda_L$, в формуле (4.1) контур интегрирования обходит точку $\lambda = -k$ сверху, а точки $\lambda = k$, $\lambda = k \cos(\theta + \beta)$, $\lambda = k \cos(\theta - \beta)$ — снизу, где $\lambda = k \cos(\theta \pm \beta)$ — нули функции $\sigma(\lambda) - k \cos \beta$.

В случае $\pi/2 < \theta < \pi$ —

$$u_z(r, \theta) = e^{-ikr \cos(\theta-\beta)} + \frac{1}{2\pi} \int_{-\infty}^{\infty} \frac{D_1(\sigma) + D_2(\sigma)}{\sqrt{\lambda^2 - k^2}} e^{i\sigma r} d\lambda \quad (4.5)$$

$$\text{где уже } \lambda = -\sigma \cos \theta + i \sin \theta \sqrt{\sigma^2 - k^2}, \sigma(\lambda) = -\lambda \cos \theta - i \sin \theta \sqrt{\lambda^2 - k^2} \quad (4.6)$$

Контур интегрирования обходит точки ветвления $\lambda = -k$ и $\lambda = k$ сверху и снизу, соответственно.

При $\pi/2 < \theta < \pi - \beta$ функция $\sigma(\lambda) - k \cos \beta$ не имеет нулей, но при $\pi - \beta < \theta < \pi$ $\lambda = -k \cos(\theta + \beta)$ является единственным нулем этой функции и контур интегрирования обходит точку $\lambda = -k \cos(\theta + \beta)$ снизу.

Функция $D_1(\sigma)$ имеет простой полюс в точке $\lambda = -\lambda_L$.

В случае $\theta = \pi - \beta$ точка $\lambda = k$ является и простым полюсом функций $\frac{D_1(\sigma)}{\sqrt{\lambda^2 - k^2}}, \frac{D_2(\sigma)}{\sqrt{\lambda^2 - k^2}}$, и точкой ветвления. В этом случае функцию

перемещений можно представить в виде

$$u_z(r, \pi - \beta) = e^{ikr \cos 2\beta} + \frac{1}{2\pi} \int_{-\infty}^{\infty} \left(\frac{D_1(\sigma) + D_2(\sigma)}{\sqrt{\lambda^2 - k^2}} - \frac{B_1 + B_2}{\lambda - k} \right) e^{i\sigma r} d\lambda + i(B_1 + B_2) e^{i\sigma r} \quad (4.7)$$

где B_1, B_2 — вычеты относительно точки $\lambda = k$ функций $\frac{D_1(\sigma)}{\sqrt{\lambda^2 - k^2}}$ и

$\frac{D_2(\sigma)}{\sqrt{\alpha^2 - k^2}}$, соответственно

$$B_1 = -\frac{i}{2} A_{01}, \quad B_2 = -\frac{i}{2} A_{02} \quad (4.8)$$

Отметим, что в случае $y < 0$, т.е. $-\pi < \theta < 0$ в вышеуказанных функциях $u_z(r, \theta)$ в подынтегральных выражениях (4.1), (4.5) следует заменить θ на $-\theta$, а $D_2(\sigma)$ на $-D_2(\sigma)$.

Полагая, что при выборе однозначной ветви $\sqrt{\alpha^2 - k^2}$ разрезы в комплексной плоскости $\alpha = \lambda + i\tau$ проведены по линиям $k + i\tau, -k - i\tau$, ($0 < \tau < \infty$), с помощью леммы Жордана выражения перемещений (4.1), (4.5) можно представить в виде (при этом контур интегрирования в случае $0 < \theta < \pi/2$ замыкается в нижней полуплоскости, а при $\pi/2 < \theta < \pi$ — в верхней)

при $0 < \theta < \pi/2$

$$u_z(r, \theta) = e^{-ikr \cos(\theta-\beta)} - \frac{1}{2\pi} \int_0^\infty \frac{e^{-i(r\alpha - \frac{3}{2}\pi)}}{\sqrt{\alpha^2 - k^2}} (D_1(\sigma) + D_1(\sigma_2) + D_2(\sigma) + D_2(\sigma_2)) d\tau \quad (4.9)$$

где $\alpha = -k - i\tau$,

$$\sigma(\alpha) = \alpha \cos \theta + i \sin \theta \sqrt{\alpha^2 - k^2} \quad \sigma_2(\alpha) = \alpha \cos \theta - i \sin \theta \sqrt{\alpha^2 - k^2} \quad (4.10)$$

Волновое поле состоит из падающей волны и объемной сдвиговой волны.

При $\pi/2 < \theta < \pi - \beta$

$$u_z(r, \theta) = e^{-ikr \cos(\theta-\beta)} + \frac{1}{2\pi} \int_0^\infty \frac{e^{i(r\alpha + \frac{\pi}{2})}}{\sqrt{\alpha^2 - k^2}} (D_1(\sigma) + D_1(\sigma_1) + D_2(\sigma) + D_2(\sigma_1)) d\tau + A_L e^{-irk_L} \quad (4.11)$$

где $\alpha = k + i\tau$,

$$\sigma(\alpha) = -\alpha \cos \theta - i \sin \theta \sqrt{\alpha^2 - k^2}, \quad \sigma_1(\alpha) = -\alpha \cos \theta + i \sin \theta \sqrt{\alpha^2 - k^2} \quad (4.12)$$

Волновое поле состоит из падающей волны, объемной сдвиговой волны, а также локализованной (поверхностной) волны Лява.

При $\pi - \beta < \theta < \pi$ волновое поле состоит из падающей и отраженной волн, поверхностной волны Лява и объемной сдвиговой волны —

$$u_z(r, \theta) = e^{-ikr \cos(\theta-\beta)} + (A_{01} + A_{02}) e^{-ikr \cos(\theta+\beta)} + A_L e^{-ir\lambda_L} + \\ + \frac{1}{2\pi} \int_0^\infty \frac{e^{i(r\alpha + \frac{\pi}{2})}}{\sqrt{\alpha^2 - k^2}} (D_1(\sigma) + D_1(\sigma_1) + D_2(\sigma) + D_2(\sigma_1)) d\tau \quad (4.13)$$

Исходя из того, что подынтегральные выражения экспоненциально убывают, и главный вклад в значениях интегралов дает их поведение в окрестности $\tau = 0$, при больших значениях r (далние от края включения зоны) получим следующие асимптотические представления перемещений, когда $rk \rightarrow \infty$:

при $-\pi \leq \theta < -\pi + \beta$

$$u_z(r, \theta) = (1 + A_{01} - A_{02}) e^{-ikr \cos(\theta-\beta)} + A_L e^{-ir\lambda_L} + e^{i(kr - \frac{\pi}{4})} \left(B(\theta) \frac{1}{\sqrt{\pi kr}} + O(rk)^{-\frac{3}{2}} \right) \quad (4.14)$$

при $\theta = -\pi + \beta$

$$u_z(r, -\pi + \beta) = \left(1 + \frac{A_{01} - A_{02}}{2} \right) e^{ikr} + A_L e^{-ir\lambda_L} + e^{i(kr - \frac{\pi}{4})} O(rk)^{-\frac{1}{2}} \quad (4.15)$$

при $-\pi + \beta < \theta < -\pi/2$

$$u_z(r, \theta) = e^{-ikr \cos(\theta-\beta)} + A_L e^{-ir\lambda_L} + e^{i(kr - \frac{\pi}{4})} \left(B(\theta) \frac{1}{\sqrt{\pi kr}} + O(rk)^{-\frac{3}{2}} \right) \quad (4.16)$$

при $-\pi/2 \leq \theta \leq \pi/2$

$$u_z(r, \theta) = e^{-ikr \cos(\theta-\beta)} + e^{i(kr - \frac{\pi}{4})} \left(B(\theta) \frac{1}{\sqrt{\pi kr}} + O(rk)^{-\frac{3}{2}} \right) \quad (4.17)$$

при $\pi/2 < \theta < \pi - \beta$

$$u_z(r, \theta) = e^{-ikr \cos(\theta-\beta)} + A_L e^{-ir\lambda_L} + e^{i(kr - \frac{\pi}{4})} \left(B(\theta) \frac{1}{\sqrt{\pi kr}} + O(rk)^{-\frac{3}{2}} \right) \quad (4.18)$$

при $\theta = \pi - \beta$

$$u_z(r, \pi - \beta) = e^{ikr \cos 2\beta} + \frac{A_{01} + A_{02}}{2} e^{ikr} + A_L e^{-ir\lambda_L} + e^{i(kr - \frac{\pi}{4})} O(rk)^{-\frac{1}{2}} \quad (4.19)$$

при $\pi - \beta < \theta \leq \pi$

$$u_z(r, \theta) = e^{-ikr \cos(\theta-\beta)} + (A_{01} + A_{02}) e^{-ikr \cos(\theta+\beta)} + \\ + A_L e^{-ir\lambda_L} + e^{i(kr - \frac{\pi}{4})} \left(B(\theta) \frac{1}{\sqrt{\pi kr}} + O(rk)^{-\frac{3}{2}} \right) \quad (4.20)$$

где если $\theta \neq \pm\pi$

$$B(\theta) = -\frac{1}{\cos \theta + \cos \beta} \times$$

$$\times \left(\frac{\cos \frac{\theta}{2} f(-k \cos \theta)}{\sqrt{k(k \cos \theta + k_0)} \bar{K}_1^+(-k \cos \theta)} - \frac{i \sqrt{2} \sin \frac{\theta}{2} \sin \frac{\beta}{2}}{\bar{K}_2^+(k \cos \beta) \bar{K}_2^+(-k \cos \theta)} \right), \quad (4.21)$$

а при $\theta = \pm \pi$, $B(\theta) = 0$.

Асимптотическое представление напряжения τ_{0z} вблизи края включения имеет вид

$$\tau_{0z} = \mu \frac{e^{\frac{i\pi}{4}}}{\sqrt{\pi r}} \left((a_2 - a_1) \sin \frac{\theta}{2} - \frac{i \sqrt{2k} \sin \frac{\beta}{2} \cos \frac{\theta}{2}}{\bar{K}_2^+(k \cos \beta)} \right) + O(1), \quad r \rightarrow 0 \quad (4.22)$$

ЛИТЕРАТУРА

- Саркисян В.С., Карабанян И.М. О факторизации в задаче дифракции гармонической волны на упругое полубесконечное включение. // Уч. записки ЕГУ, 2, 2001г., с.32-39.
- Саркисян В.С., Карабанян И.М. Дифракция сдвиговых упругих гармонических волн на полубесконечных включениях. Проблемы механики тонких деформируемых тел. Ереван, 2002. С. 266-280.
- Новацкий В. Теория упругости. М.: Мир, 1975. 872 с.
- Нобл Б. Метод Винера-Хопфа. М.: Мир, 1962. 279 с.
- Григорян Э.Х. Передача нагрузки от кусочно-однородной бесконечной накладки к упругой полуплоскости. // Уч. Записки ЕГУ, 1979, 3. С. 29-34.
- Шилов Г.Е. Математический анализ. Второй спецкурс. М.: Наука, 1965. 327 с.
- Справочная математическая библиотека. Функциональный анализ. М.: Наука, 1972. 283 с.
- Арутюнян Н.Х. Контактная задача для полуплоскости с упругим креплением. // ПММ. Т.32. №4. 1968. С. 632-646.
- Григорян Э.Х., Саркисян Л.В. Дифракция сдвиговых электроупругих поверхностных волн на крае электропроводящего упругого слоя. Изв. НАН Арм. Механика. Т. 52. №1. 1999. С.30-39.

